

ЧИСЛЕННО-АНАЛИТИЧЕСКОЕ МОДЕЛИРОВАНИЕ ЛИНЕЙНОГО ТЕРМО-ВЛАГО-ВЯЗКОУПРУГОГО ПОВЕДЕНИЯ ПРОСАДОЧНЫХ И НАБУХАЮЩИХ ГРУНТОВ, АРМИРОВАННЫХ ПРОСТРАНСТВЕННОЙ ГЕОРЕШЕТКОЙ

Янковский А.П.

*Институт теоретической и прикладной механики им. С.А. Христиановича СО РАН,
Новосибирск*

Настоящая работа продолжает исследование, опубликованное в [1], где была предложена методика вычисления эффективных термо-владо-упругих характеристик набухающих и просадочных грунтов, армированных пространственной георешеткой. Однако известно, что грунты, а также георешетки, изготавливаемые из полимерных материалов [2], проявляют не только упругие, но и ярко выраженные вязкие и наследственные свойства [2–4], поэтому актуальной является проблема построения определяющих уравнений армированных георешетками грунтов с учетом их вязкого и линейно-наследственного поведения. В связи с этим настоящее исследование посвящено численно-аналитическому моделированию термо-владо-вязкоупругого поведения грунтов, армированных пространственной георешеткой.

Пусть имеется термо-владо-вязкоупругий слой грунта единичной толщины h , армированный регулярно в плоскости (x_1, x_2) объемной георешеткой (координата x_3 прямоугольной декартовой системы координат x_1, x_2, x_3 направлена по толщине слоя). Выделим из такого геокомпозита простейший представительный элемент (ячейку) объемом $V = 2a \times 2b \times h$ (рисунок) так, чтобы любой другой элемент композита можно было получить параллельным переносом по направлению x_1 на расстояние $2an$, по направлению x_2 – на расстояние $2bm$, а по направлению x_3 – на расстояние hl ($n, m, l = \pm 1, \pm 2, \pm 3 \dots$).

На рисунке изображена ячейка с наиболее общим типом криволинейного армирования двумя усиливающими элементами 1, 2, представляющими собой цилиндрические оболочечные элементы,

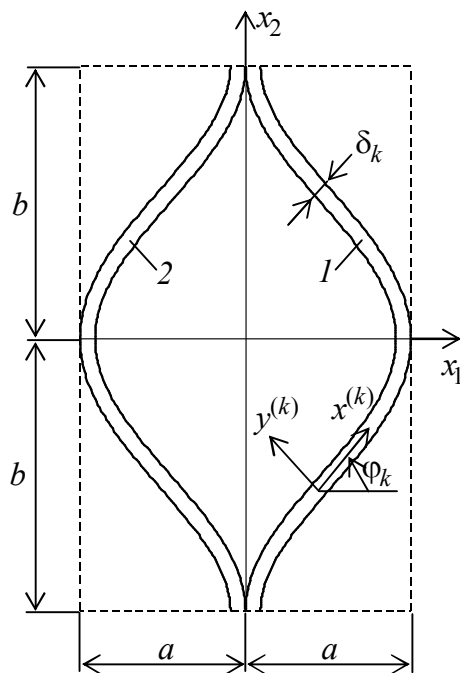


Рисунок 1 – Представительный элемент (ячейка) геокомпозита, армированного пространственной георешеткой (вид сверху)

направляющие которых параллельны оси x_3 , перпендикулярной плоскости рисунка. Из такой структуры заданием геометрии армирующих элементов можно получить георешетки всех видов, используемых на сегодняшний день на практике [2]. С каждым k -м армирующим элементом свяжем свою локальную прямоугольную декартову систему координат $x^{(k)}, y^{(k)}, z^{(k)} \equiv x_3$ (как показано на рисунке), которая получается поворотом глобальной системы координат x_1, x_2, x_3 на угол φ_k вокруг вертикальной оси x_3 .

Для удобства дальнейшего изложения, как и в [1], напряженно-деформированное состояние компонент композиции и геокомпозита в целом будем описывать не тензорами напряжений и деформаций, а шестикомпонентными векторами напряжений и деформаций, что позволяет записывать определяющие соотношения в компактной матричной форме.

Все компоненты (фазы) композиции предполагаются материалами с общей анизотропией, механическое поведение которых описывается моделью обобщенного тела Максвелла – Томсона [5]. Согласно этой модели, с учетом принципа Неймана [4] и возможности набухания или проседания грунта [3] (а в самом общем случае и армирующих элементов) определяющие уравнения для компонент композиции, материалы которых предполагаются стабильными, можно записать так [4, 5]:

$$\begin{aligned}
\sigma_i^{(k)}(t) = & A_{ij}^{(k)} \left(\varepsilon_j^{(k)}(t) - \alpha_j^{(k)} T_k(t) - \beta_j^{(k)} w_k(t) \right) + \int_0^t \left[\sum_{m=1}^{M_k} B_{ij,m}^{(k)} \exp\left(-\frac{t-\tau}{n_m^{(k)}}\right) \dot{\varepsilon}_j^{(k)}(\tau) - \right. \\
& \left. - \sum_{s=1}^{N_k} A_{i,s}^{(k)} \exp\left(-\frac{t-\tau}{\theta_s^{(k)}}\right) \dot{T}_k(\tau) - \sum_{r=1}^{L_k} B_{i,r}^{(k)} \exp\left(-\frac{t-\tau}{\gamma_r^{(k)}}\right) \dot{w}_k(\tau) \right] d\tau + C_{ij}^{(k)} \dot{\varepsilon}_j^{(k)}(t) - \\
& - D_i^{(k)} \dot{T}_k(t) - F_i^{(k)} \dot{w}_k(t), \quad i = 1, 2, \dots, 6, \quad k = 0, 1, 2, \dots, K,
\end{aligned} \tag{1}$$

где

$$\begin{aligned}
\sigma_k^* &= \left\{ \sigma_{11}^{(k)}, \sigma_{22}^{(k)}, \sigma_{33}^{(k)}, \sigma_{12}^{(k)}, \sigma_{23}^{(k)}, \sigma_{31}^{(k)} \right\} = \left\{ \sigma_1^{(k)}, \sigma_2^{(k)}, \sigma_3^{(k)}, \sigma_4^{(k)}, \sigma_5^{(k)}, \sigma_6^{(k)} \right\}, \\
\varepsilon_k^* &= \left\{ \varepsilon_{11}^{(k)}, \varepsilon_{22}^{(k)}, \varepsilon_{33}^{(k)}, \varepsilon_{12}^{(k)}, \varepsilon_{23}^{(k)}, \varepsilon_{31}^{(k)} \right\} = \left\{ \varepsilon_1^{(k)}, \varepsilon_2^{(k)}, \varepsilon_3^{(k)}, \varepsilon_4^{(k)}, \varepsilon_5^{(k)}, \varepsilon_6^{(k)} \right\}, \\
\alpha_k^* &= \left\{ \alpha_{11}^{(k)}, \alpha_{22}^{(k)}, \alpha_{33}^{(k)}, \alpha_{12}^{(k)}, \alpha_{23}^{(k)}, \alpha_{31}^{(k)} \right\} = \left\{ \alpha_1^{(k)}, \alpha_2^{(k)}, \alpha_3^{(k)}, \alpha_4^{(k)}, \alpha_5^{(k)}, \alpha_6^{(k)} \right\}, \\
\beta_k^* &= \left\{ \beta_{11}^{(k)}, \beta_{22}^{(k)}, \beta_{33}^{(k)}, \beta_{12}^{(k)}, \beta_{23}^{(k)}, \beta_{31}^{(k)} \right\} = \left\{ \beta_1^{(k)}, \beta_2^{(k)}, \beta_3^{(k)}, \beta_4^{(k)}, \beta_5^{(k)}, \beta_6^{(k)} \right\};
\end{aligned} \tag{2}$$

$\sigma_i^{(k)}$ – компоненты вектора σ_k напряжений в k -й фазе композиции; $\varepsilon_i^{(k)}$ – компоненты вектора ε_k деформаций в k -й компоненте композиции; $\alpha_i^{(k)}$ – компоненты вектора α_k коэффициентов теплового расширения материала k -й фазы композиции; $\beta_i^{(k)}$ – компоненты вектора β_k коэффициентов линейного расширения набухающего (если компоненты $\beta_i^{(k)}$ положительны) или просадочного (если компоненты $\beta_i^{(k)}$ отрицательны) материала k -й компоненты композиции; T_k – отклонение температуры k -й фазы композиции от температуры естественного состояния; w_k – приращение влажности в k -й компоненте композиции по сравнению с естественным состоянием; $A_{ij}^{(k)}$ – компоненты матрицы жесткости A_k материала k -й фазы композиции; $C_{ij}^{(k)}$ – компоненты матрицы C_k линейных вязкостей материала k -й компоненты композиции; $D_i^{(k)}$ – элементы шестикомпонентного вектора линейных температурных вязкостей материала k -й фазы композиции; $F_i^{(k)}$ – элементы шестикомпонентного вектора линейных «влажностных» вязкостей материала k -й компоненты композиции; $B_{ij,m}^{(k)}$, $n_m^{(k)}$, M_k – характеристики материала k -й фазы композиции, определяющие его механические линейно-наследственные свойства; $A_{i,s}^{(k)}$, $\theta_s^{(k)}$, N_k – характеристики материала k -й компоненты композиции, определяющие его тепловые линейно-наследственные свойства; $B_{i,r}^{(k)}$, $\gamma_r^{(k)}$, L_k – характеристики материала k -й фазы композиции, определяющие его «влажностные» линейно-наследственные свойства (постоянные $n_m^{(k)}$, $\theta_s^{(k)}$, $\gamma_r^{(k)}$ имеют смысл характерного времени релаксации); K – количество армирующих элементов георешетки в ячейке (на рисунке изображена георешетка с двумя ($K = 2$) криволинейными армирующими элементами; возможен расчет и более сложных георешеток, в рамках настоящего исследования это не принципиально); звездочка означает операцию транспонирования; точка над функцией – производная по времени t . В соотношениях (1) и далее: по нижнему повторяющемуся индексу j производится суммирование от 1 до 6; при $k = 0$ эти соотношения относятся к связующему (грунту) и записаны в глобальной системе координат x_1, x_2, x_3 , при $1 \leq k \leq K$ соотношения (1) относятся к k -му армирующему элементу и записаны в локальной системе $x^{(k)}, y^{(k)}, z^{(k)} \equiv x_3$, связанной с этим элементом.

Соотношения (1) выписаны для самого общего случая, когда предполагается, что и армирующие элементы могут набухать или проседать от увеличения влажности; если же армирующие элементы не обладают этими свойствами, то в (1) следует формально принять $\beta_j^{(k)} = 0$, $B_{i,r}^{(k)} = 0$, $F_i^{(k)} = 0$

($k \neq 0$). Представление ядер интегральных операторов в (1) в виде линейных комбинаций экспоненциальных функций с числом слагаемых M_k, N_k, L_k позволяет аппроксимировать ядра более сложной структуры, в том числе и некоторые виды слабоингулярных ядер [6]. Равенства (2) задают соответствия между шестью компонентами f_i ($i = \overline{1, 6}$) некоторого вектора \mathbf{f} и компонентами соответствующего симметричного тензора второго ранга f_{ij} ($i, j = 1, 2, 3; 0 \leq k \leq K$). В соотношениях (1) и далее будем в явном виде указывать зависимость функций $\sigma_i^{(k)}, \varepsilon_i^{(k)}, T_k, w_k$ и их производных только от времени t , а зависимости этих функций от пространственных координат x_1, x_2, x_3 для сокращения записи указывать не будем, но будем их неявно учитывать.

Традиционно для решения задач о механическом поведении конструкций из линейно-наследственных материалов применяют преобразование Лапласа [4, 5]. Однако это преобразование оказывается эффективным лишь в тех случаях, для которых известны аналитические решения соответствующих линейно-упругих задач [4]. В связи с этим и исходя из того, что механическое поведение современных весьма сложных дорожных конструкций, как правило, слоистой структуры [2], целесообразно определять численными методами, в настоящем исследовании разработаем численный подход к моделированию термо-влажно-вязкоупругого поведения геокомпозита из линейно-наследственных фазовых материалов без привлечения преобразования Лапласа и функций комплексного переменного. С этой целью предварительно вычислим интегралы в (1) по частям, тогда после элементарных преобразований получим

$$\begin{aligned} \sigma_i(t) = & \left(A_{ij} + \sum_m B_{ij,m} \right) \varepsilon_j(t) - \left(A_{ij} \alpha_j + \sum_s A_{i,s} \right) T(t) - \left(A_{ij} \beta_j + \sum_r B_{i,r} \right) w(t) - \\ & - \int_0^t \left[\sum_m \frac{B_{ij,m}}{n_m} \exp\left(-\frac{t-\tau}{n_m}\right) \varepsilon_j(\tau) - \sum_s \frac{A_{i,s}}{\theta_s} \exp\left(-\frac{t-\tau}{\theta_s}\right) T(\tau) - \sum_r \frac{B_{i,r}}{\gamma_r} \times \right. \\ & \left. \times \exp\left(-\frac{t-\tau}{\gamma_r}\right) w(\tau) \right] d\tau + C_{ij} \dot{\varepsilon}_j(t) - D_i \dot{T}(t) - F_i \dot{w}(t), \quad i = 1, 2, \dots, 6, \end{aligned} \quad (3)$$

где, как обычно [4], предполагается, что до начального момента времени $t_0 = 0$ геокомпозит находился в естественном состоянии, т. е. $\varepsilon_j(t) = 0, T(t) = 0, w(t) = 0$ при $t \leq t_0$. Здесь и далее для упрощения записи в промежуточных выкладках будем опускать индекс k , определяющий номер фазы композиции; суммирование производится по указанным индексам m, s, r от 1 до M, N, L соответственно (точнее до M_k, N_k, L_k).

Введем в рассмотрение интегралы вида:

$$E_{j,m}(t) \equiv \int_0^t \exp\left(-\frac{t-\tau}{n_m}\right) \varepsilon_j(\tau) d\tau, \quad \Theta_s(t) \equiv \int_0^t \exp\left(-\frac{t-\tau}{\theta_s}\right) T(\tau) d\tau, \quad W_r(t) \equiv \int_0^t \exp\left(-\frac{t-\tau}{\gamma_r}\right) w(\tau) d\tau. \quad (4)$$

Соотношения (3) с учетом (4) примут вид

$$\begin{aligned} \sigma_i(t) = & \left(A_{ij} + \sum_m B_{ij,m} \right) \varepsilon_j(t) - \left(A_{ij} \alpha_j + \sum_s A_{i,s} \right) T(t) - \left(A_{ij} \beta_j + \sum_r B_{i,r} \right) w(t) - \\ & - \sum_m \frac{B_{ij,m}}{n_m} E_{j,m}(t) + \sum_s \frac{A_{i,s}}{\theta_s} \Theta_s(t) + \sum_r \frac{B_{i,r}}{\gamma_r} W_r(t) + C_{ij} \dot{\varepsilon}_j(t) - D_i \dot{T}(t) - F_i \dot{w}(t), \quad i = \overline{1, 6}. \end{aligned} \quad (5)$$

Дискретизируем задачу по времени t , т. е. будем рассматривать ее решения в моменты времени t_n ($n = 0, 1, 2 \dots$). Предполагаем, что в момент времени t_n решение задачи уже известно, т. е. известны функции, зависящие от пространственных переменных:

$$\begin{aligned} \dot{\varepsilon}_j^n \equiv \dot{\varepsilon}_j(t_n), \quad \varepsilon_j^n \equiv \varepsilon_j(t_n), \quad \dot{T}^n \equiv \dot{T}(t_n), \quad T^n \equiv T(t_n), \quad \dot{w}^n \equiv \dot{w}(t_n), \quad w^n \equiv w(t_n), \\ E_{j,m}^n \equiv E_{j,m}(t_n), \quad \Theta_s^n \equiv \Theta_s(t_n), \quad W_r^n \equiv W_r(t_n), \quad \sigma_i^n \equiv \sigma_i(t_n). \end{aligned} \quad (6)$$

Построим соотношения (5) для момента времени

$$t_{n+1} = t_n + \tau_n, \quad n = 0, 1, 2 \dots, \quad (7)$$

где τ_n – шаг по времени (возможно, переменный). Из соотношений (5) с учетом обозначений типа (6) следует:

$$\begin{aligned} \sigma_i^{n+1} = & \left(A_{ij} + \sum_m B_{ij,m} \right)^{n+1} \varepsilon_j - \left(A_{ij} \alpha_j + \sum_s A_{i,s} \right)^{n+1} T - \left(A_{ij} \beta_j + \sum_r B_{i,r} \right)^{n+1} w - \\ & - \sum_m \frac{B_{ij,m}}{n_m} E_{j,m}^{n+1} + \sum_s \frac{A_{i,s}}{\theta_s} \Theta_s^{n+1} + \sum_r \frac{B_{i,r}}{\gamma_r} W_r^{n+1} + C_{ij} \dot{\varepsilon}_j - D_i \dot{T} - F_i \dot{w}, \quad i = \overline{1, 6}. \end{aligned} \quad (8)$$

Используя равенства (4), с учетом соотношений (6), (7) преобразуем в (8) величины

$$\begin{aligned} E_{j,m}^{n+1} & \equiv \int_0^{t_{n+1}} \exp\left(-\frac{t_{n+1}-\tau}{n_m}\right) \varepsilon_j(\tau) d\tau = \int_0^{t_n} \exp\left(-\frac{t_{n+1}-\tau}{n_m}\right) \varepsilon_j(\tau) d\tau + \\ & + \int_{t_n}^{t_{n+1}} \exp\left(-\frac{t_{n+1}-\tau}{n_m}\right) \varepsilon_j(\tau) d\tau = \int_{t_n}^{t_{n+1}} \exp\left(-\frac{t_{n+1}-\tau}{n_m}\right) \varepsilon_j(\tau) d\tau + \int_0^{t_n} \exp\left(-\frac{t_{n+1}-t_n}{n_m}\right) \times \\ & \times \exp\left(-\frac{t_n-\tau}{n_m}\right) \varepsilon_j(\tau) d\tau = \int_{t_n}^{t_{n+1}} \exp\left(-\frac{t_{n+1}-\tau}{n_m}\right) \varepsilon_j(\tau) d\tau + \exp\left(-\frac{\tau_n}{n_m}\right) E_{j,m}^n, \\ \Theta_s^{n+1} & \equiv \int_0^{t_{n+1}} \exp\left(-\frac{t_{n+1}-\tau}{\theta_s}\right) T(\tau) d\tau = \int_{t_n}^{t_{n+1}} \exp\left(-\frac{t_{n+1}-\tau}{\theta_s}\right) T(\tau) d\tau + \exp\left(-\frac{\tau_n}{\theta_s}\right) \Theta_s^n, \\ W_r^{n+1} & \equiv \int_0^{t_{n+1}} \exp\left(-\frac{t_{n+1}-\tau}{\gamma_r}\right) w(\tau) d\tau = \int_{t_n}^{t_{n+1}} \exp\left(-\frac{t_{n+1}-\tau}{\gamma_r}\right) w(\tau) d\tau + \exp\left(-\frac{\tau_n}{\gamma_r}\right) W_r^n. \end{aligned} \quad (9)$$

Для приближенного вычисления первых интегралов в правых частях равенств (9) используем формулу трапеций, имеющую второй порядок точности по τ_n , т.е.

$$\begin{aligned} \int_{t_n}^{t_{n+1}} \exp\left(-\frac{t_{n+1}-\tau}{n_m}\right) \varepsilon_j(\tau) d\tau & \approx \frac{\tau_n}{2} \left(\exp\left(-\frac{t_{n+1}-t_{n+1}}{n_m}\right) \varepsilon_j + \exp\left(-\frac{t_{n+1}-t_n}{n_m}\right) \varepsilon_j \right) = \\ & = \frac{\tau_n}{2} \left(\varepsilon_j + \exp\left(-\frac{\tau_n}{n_m}\right) \varepsilon_j \right), \quad \int_{t_n}^{t_{n+1}} \exp\left(-\frac{t_{n+1}-\tau}{\theta_s}\right) T(\tau) d\tau \approx \frac{\tau_n}{2} \left(T + \exp\left(-\frac{\tau_n}{\theta_s}\right) T \right), \\ \int_{t_n}^{t_{n+1}} \exp\left(-\frac{t_{n+1}-\tau}{\gamma_r}\right) w(\tau) d\tau & \approx \frac{\tau_n}{2} \left(w + \exp\left(-\frac{\tau_n}{\gamma_r}\right) w \right). \end{aligned} \quad (10)$$

Подставим (10) в соотношения (9), тогда получим приближенные формулы

$$\begin{aligned} E_{j,m}^{n+1} & \approx \frac{\tau_n}{2} \left(\varepsilon_j + \exp\left(-\frac{\tau_n}{n_m}\right) \varepsilon_j \right) + \exp\left(-\frac{\tau_n}{n_m}\right) E_{j,m}^n = \frac{\tau_n}{2} \varepsilon_j + \exp\left(-\frac{\tau_n}{n_m}\right) \left(\frac{\tau_n}{2} \varepsilon_j + E_{j,m}^n \right), \\ \Theta_s^{n+1} & \approx \frac{\tau_n}{2} T + \exp\left(-\frac{\tau_n}{\theta_s}\right) \left(\frac{\tau_n}{2} T + \Theta_s^n \right), \quad W_r^{n+1} \approx \frac{\tau_n}{2} w + \exp\left(-\frac{\tau_n}{\gamma_r}\right) \left(\frac{\tau_n}{2} w + W_r^n \right), \quad j = \overline{1, 6}. \end{aligned} \quad (11)$$

Используя формулу трапеций, запишем следующие приближенные равенства:

$$\varepsilon_j^{n+1} - \varepsilon_j^n = \frac{\tau_n}{2} \left(\dot{\varepsilon}_j + \varepsilon_j \right), \quad T^{n+1} - T^n = \frac{\tau_n}{2} \left(\dot{T} + T \right), \quad w^{n+1} - w^n = \frac{\tau_n}{2} \left(\dot{w} + w \right),$$

из которых следует

$$\dot{\varepsilon}_j = \frac{2}{\tau_n} \left(\varepsilon_j^{n+1} - \varepsilon_j^n \right) - \varepsilon_j^n, \quad \dot{T} = \frac{2}{\tau_n} \left(T^{n+1} - T^n \right) - T^n, \quad \dot{w} = \frac{2}{\tau_n} \left(w^{n+1} - w^n \right) - w^n. \quad (12)$$

Подставим выражения (11), (12) в соотношения (8) и восстановим индекс k , тогда после элементарных преобразований получим

$$\begin{aligned} \sigma_i^{n+1} = & \left(A_{ij}^{(k)} + \sum_{m=1}^{M_k} B_{ij,m}^{(k)} \left(1 - \frac{\tau_n}{2n_m^{(k)}} \right) + \frac{2}{\tau_n} C_{ij}^{(k)} \right) \varepsilon_j^{(k)} - \left(A_{ij}^{(k)} \alpha_j^{(k)} + \sum_{s=1}^{N_k} A_{i,s}^{(k)} \left(1 - \frac{\tau_n}{2\theta_s^{(k)}} \right) + \right. \\ & \left. + \frac{2}{\tau_n} D_i^{(k)} \right) T_k - \left(A_{ij}^{(k)} \beta_j^{(k)} + \sum_{r=1}^{L_k} B_{i,r}^{(k)} \left(1 - \frac{\tau_n}{2\gamma_r^{(k)}} \right) + \frac{2}{\tau_n} F_i^{(k)} \right) w_k - \sum_{m=1}^{M_k} \frac{B_{ij,m}^{(k)}}{n_m^{(k)}} \exp \left(-\frac{\tau_n}{n_m^{(k)}} \right) \times \\ & \times \left(\frac{\tau_n}{2} \varepsilon_j^{(k)} + E_{j,m}^{(k)} \right) + \sum_{s=1}^{N_k} \frac{A_{i,s}^{(k)}}{\theta_s^{(k)}} \exp \left(-\frac{\tau_n}{\theta_s^{(k)}} \right) \left(\frac{\tau_n}{2} T_k + \Theta_s^{(k)} \right) + \sum_{r=1}^{L_k} \frac{B_{i,r}^{(k)}}{\gamma_r^{(k)}} \exp \left(-\frac{\tau_n}{\gamma_r^{(k)}} \right) \left(\frac{\tau_n}{2} w_k + W_r^{(k)} \right) - \\ & - C_{ij}^{(k)} \left(\frac{2}{\tau_n} \varepsilon_j^{(k)} + \dot{\varepsilon}_j^{(k)} \right) + D_i^{(k)} \left(\frac{2}{\tau_n} T_k + \dot{T}_k \right) + F_i^{(k)} \left(\frac{2}{\tau_n} w_k + \dot{w}_k \right), \quad i = 1, 2, \dots, 6, \quad 0 \leq k \leq K. \end{aligned} \quad (13)$$

Равенства (13) можно записать в матричной форме

$$\sigma_k^{n+1} = \bar{A}_k^n \varepsilon_k^{n+1} - \mathbf{B}_k^n T_k - \mathbf{V}_k^n w_k + \bar{\mathbf{p}}_k^n, \quad 0 \leq k \leq K, \quad n = 0, 1, 2, \dots \quad (14)$$

где $\bar{A}_k^n = \left(\bar{A}_{ij}^{(k)} \right)$ – 6×6 матрица, $\mathbf{B}_k^n = \left\{ B_i^{(k)} \right\}$, $\mathbf{V}_k^n = \left\{ V_i^{(k)} \right\}$, $\bar{\mathbf{p}}_k^n = \left\{ \bar{p}_i^{(k)} \right\}$ – шестикомпонентные

векторы, элементы которых согласно (13) имеют выражения

$$\begin{aligned} \bar{A}_{ij}^{(k)} \equiv & A_{ij}^{(k)} + \sum_{m=1}^{M_k} B_{ij,m}^{(k)} \left(1 - \frac{\tau_n}{2n_m^{(k)}} \right) + \frac{2}{\tau_n} C_{ij}^{(k)} \quad (j = \overline{1, 6}), \quad B_i^{(k)} \equiv A_{ij}^{(k)} \alpha_j^{(k)} + \sum_{s=1}^{N_k} A_{i,s}^{(k)} \left(1 - \frac{\tau_n}{2\theta_s^{(k)}} \right) + \\ & + \frac{2}{\tau_n} D_i^{(k)}, \quad V_i^{(k)} \equiv A_{ij}^{(k)} \beta_j^{(k)} + \sum_{r=1}^{L_k} B_{i,r}^{(k)} \left(1 - \frac{\tau_n}{2\gamma_r^{(k)}} \right) + \frac{2}{\tau_n} F_i^{(k)}, \quad \bar{p}_i^{(k)} \equiv - \sum_{m=1}^{M_k} \frac{B_{ij,m}^{(k)}}{n_m^{(k)}} \exp \left(-\frac{\tau_n}{n_m^{(k)}} \right) \times \\ & \times \left(\frac{\tau_n}{2} \varepsilon_j^{(k)} + E_{j,m}^{(k)} \right) + \sum_{s=1}^{N_k} \frac{A_{i,s}^{(k)}}{\theta_s^{(k)}} \exp \left(-\frac{\tau_n}{\theta_s^{(k)}} \right) \left(\frac{\tau_n}{2} T_k + \Theta_s^{(k)} \right) + \sum_{r=1}^{L_k} \frac{B_{i,r}^{(k)}}{\gamma_r^{(k)}} \exp \left(-\frac{\tau_n}{\gamma_r^{(k)}} \right) \left(\frac{\tau_n}{2} w_k + W_r^{(k)} \right) - \\ & - C_{ij}^{(k)} \left(\frac{2}{\tau_n} \varepsilon_j^{(k)} + \dot{\varepsilon}_j^{(k)} \right) + D_i^{(k)} \left(\frac{2}{\tau_n} T_k + \dot{T}_k \right) + F_i^{(k)} \left(\frac{2}{\tau_n} w_k + \dot{w}_k \right) \quad (i = \overline{1, 6}). \end{aligned} \quad (15)$$

Так как функции (6) в момент времени t_n предполагаются уже известными, то компоненты матрицы \bar{A}_k^n и векторов \mathbf{B}_k^n , \mathbf{V}_k^n , $\bar{\mathbf{p}}_k^n$ в (14) согласно равенствам (15) также известны. Кроме того, соотношения (14) формально совпадают с определяющими уравнениями термо-влаго-упругого материала, записанными в матричной форме.

Перепишем равенство (14) в следующем виде:

$$\sigma_k^{n+1} = \bar{A}_k^n \left(\varepsilon_k^{n+1} - \alpha_k^n T_k - \beta_k^n w_k \right) + \bar{\mathbf{p}}_k^n, \quad 0 \leq k \leq K, \quad n = 0, 1, 2, \dots, \quad (16)$$

где

$$\alpha_k^n = \bar{A}_k^{n-1} \mathbf{B}_k^n, \quad \beta_k^n = \bar{A}_k^{n-1} \mathbf{V}_k^n; \quad (17)$$

\bar{A}_k^{n-1} – 6×6 -матрица, обратная \bar{A}_k^n .

Если вектор $\bar{\mathbf{p}}_k^n$ трактовать как вектор начальных напряжений, матрицу \bar{A}_k^n – как матрицу упругих жесткостей k -й фазы композиции, а шестикомпонентные векторы α_k^n , β_k^n – как векторы коэффициентов теплового расширения и линейного расширения набухающего или проседающего мате-

риала k -й компоненты композиции соответственно, то соотношения (16) с учетом (15), (17) полностью совпадают с равенствами (1) в [1]. Поэтому, применяя к геокомпозиту в момент времени t_{n+1} допущения, использованные в [1] и почти дословно повторяя все рассуждения из [1], получим, что определяющие уравнения для геокомпозита в момент времени t_{n+1} в матричной форме будут иметь следующий вид:

$$\boldsymbol{\sigma}^{n+1} = \bar{A} \begin{pmatrix} n+1 & n & n+1 & n & n+1 \\ \boldsymbol{\varepsilon} & -\boldsymbol{\alpha} & T & -\boldsymbol{\beta} & w_0 \end{pmatrix} + \bar{\mathbf{p}}, \quad n = 0, 1, 2, \dots, \quad (18)$$

где

$$\begin{aligned} \bar{A} &= \left(\frac{V_0}{V} \bar{A}_0 + \frac{h}{V} \sum_{k=1}^K \int_0^{l_k} \delta_k D_k \bar{A}_k B_k dl \right) E, \quad \bar{\boldsymbol{\beta}} = \bar{A}^{-1} \left[\frac{V_0}{V} \bar{A}_0 \left(\bar{\boldsymbol{\beta}}_0 - \mathbf{H} \right) + \frac{h}{V} \sum_{k=1}^K \int_0^{l_k} \delta_k D_k \bar{A}_k (\mathbf{F}_k - B_k \mathbf{H}) dl \right], \\ \bar{\boldsymbol{\alpha}} &= \bar{A}^{-1} \left[\frac{V_0}{V} \bar{A}_0 \left(\bar{\boldsymbol{\alpha}}_0 + \mathbf{G} \right) + \frac{h}{V} \sum_{k=1}^K \int_0^{l_k} \delta_k D_k \bar{A}_k \left(\bar{\boldsymbol{\alpha}}_k - \mathbf{C}_k + B_k \mathbf{G} \right) dl \right]; \end{aligned} \quad (19)$$

$$\bar{\mathbf{p}} = \frac{V_0}{V} \bar{\mathbf{p}}_0 + \frac{h}{V} \sum_{k=1}^K \int_0^{l_k} \delta_k D_k \bar{\mathbf{p}}_k dl + \frac{h}{V} \sum_{k=1}^K \int_0^{l_k} \delta_k D_k \bar{A}_k \bar{\mathbf{P}}_k dl - \left(\frac{V_0}{V} \bar{A}_0 + \frac{h}{V} \sum_{k=1}^K \int_0^{l_k} \delta_k D_k \bar{A}_k B_k dl \right) \bar{\mathbf{P}}; \quad (20)$$

$$\bar{\mathbf{P}} \equiv E \left(\frac{h}{V} \sum_{k=1}^K \int_0^{l_k} \delta_k D_k \bar{\mathbf{P}}_k dl \right), \quad \bar{\mathbf{P}}_k^* = \left\{ 0, P_2^{(k)}, 0, P_4^{(k)}, P_5^{(k)}, 0 \right\},$$

$$P_2^{(k)} \equiv \left(\bar{p}_1^{(0)} \sin^2 \varphi_k + \bar{p}_2^{(0)} \cos^2 \varphi_k - \bar{p}_4^{(0)} \sin 2\varphi_k - \bar{p}_2^{(k)} \right) / \bar{A}_{22}^{(k)}, \quad (21)$$

$$P_4^{(k)} \equiv \left[\frac{1}{2} \left(\bar{p}_2^{(0)} - \bar{p}_1^{(0)} \right) \sin 2\varphi_k + \bar{p}_4^{(0)} \cos 2\varphi_k - \bar{p}_4^{(k)} \right] / \bar{A}_{44}^{(k)},$$

$$P_5^{(k)} \equiv \left(-\bar{p}_6^{(0)} \sin \varphi_k + \bar{p}_5^{(0)} \cos \varphi_k - \bar{p}_5^{(k)} \right) / \bar{A}_{55}^{(k)};$$

\bar{A}^{-1} – 6×6 -матрица, обратная \bar{A} ; остальные 6×6 -матрицы D_k , B_k , E , шестикомпонентные векторы \mathbf{G} , \mathbf{H} , \mathbf{C}_k , \mathbf{F}_k , функции и величины определены в [1, 7].

Соотношения (18), (19), как и в [1], записаны для случая, когда свойствами набухания или проседания обладает только связующее – грунт (армирующие элементы этими свойствами не обладают, что и имеет место на практике, т. е. $\beta_j^{(k)} = 0$, $B_{i,r}^{(k)} = 0$, $F_i^{(k)} = 0$, $1 \leq k \leq K$, см. (1)).

Выражения (19) формально полностью совпадают с аналогичными равенствами, полученными в [1] (см. там (17), (18)). Соотношения же (20), которые можно трактовать как осредненные начальные напряжения в геокомпозите, отличаются от полученных в [1]. Это объясняется тем, что в [1] рассматривались реальные начальные напряжения в компонентах композиции, для которых выполняются условия сопряжения этих напряжений на границах контакта армирующих элементов и связующего

– грунта (см. (5) в [1]). В настоящем же исследовании $\bar{p}_i^{(k)}$ (см. (15)) – условные начальные напряжения, для которых условия сопряжения на границах контакта армирующих элементов и связующего не выполняются, что и привело к появлению двух последних слагаемых в правой части выражения (20).

Таким образом, если в момент времени t_n известны функции (6), то согласно (19)–(21) в соотношениях (18) известны компоненты 6×6 -матрицы \bar{A} и шестикомпонентных векторов $\bar{\boldsymbol{\alpha}}$, $\bar{\boldsymbol{\beta}}$, $\bar{\mathbf{p}}$. Решая для момента времени t_{n+1} соответствующую граничную задачу о термо-влажностно-упругом пове-

дении геокомпозиата (или дорожной конструкции в целом) с использованием определяющего соотношения (18), получим поля осредненных напряжений σ^{n+1} и деформаций ε^{n+1} в композиции. Зная эти поля, по формулам (см. (8), (14) в [1] и (11) в [7])

$$\begin{aligned} \varepsilon_0^{n+1} &= E \varepsilon^{n+1} - G T^{n+1} + H w_0^{n+1} - P, \quad T_k^{n+1} = T^{n+1} \quad (0 \leq k \leq K), \\ \varepsilon_k^{n+1} &= B_k \varepsilon_0^{n+1} + C_k T^{n+1} - F_k w_0^{n+1} + P_k \quad (1 \leq k \leq K) \end{aligned} \quad (22)$$

можем последовательно определить поля деформаций ε_k^{n+1} и температур T_k^{n+1} во всех компонентах

композиции. При известных функциях $\varepsilon_j^{(k)}$, T_k^{n+1} , w_k^{n+1} с учетом (6) по формулам (11)–(13) можем

определить $E_{j,m}^{(k)}$, $\Theta_s^{(k)}$, $W_r^{(k)}$, $\dot{\varepsilon}_j^{(k)}$, \dot{T}_k^{n+1} , \dot{w}_k^{n+1} , $\sigma_i^{(k)}$ ($0 \leq k \leq K$). Следовательно, все функции, указанные в (6), становятся известными в момент времени t_{n+1} , поэтому, повторяя рассуждения (6)–(22) для следующего момента времени (заменяв n на $n+1$), можем рассчитать механическое поведение геокомпозиата при $t = t_{n+2}$ и т. д. Так как в начальный момент времени $t = t_0 = 0$ функции (6) при $n = 0$ предполагаются известными и равными нулю, то по описанной выше схеме можем последовательно получить решения задачи о термо-влаго-вязкоупругом поведении армированного грунта в дискретные моменты времени (7).

Работа выполнена при финансовой поддержке Российского фонда фундаментальных исследований (код проекта 12-01-90405-Укр_а).

Литература

1. Немировский, Ю.В. Построение определяющих уравнений просадочных и набухающих грунтов, армированных пространственной георешеткой, с учетом предварительного напряженного состояния / Ю.В. Немировский, А.П. Янковский // Изв. вузов. Строительство. – 2009. – № 6. – С. 3–10.
2. Матвеев, С.А. Армированные дорожные конструкции: моделирование и расчет / С.А. Матвеев, Ю.В. Немировский. – Новосибирск: Наука, 2006. – 348 с.
3. Тер-Мартirosян, З.С. Механика грунтов / Учебное пособие / З.С. Тер-Мартirosян. – М: Изд-во Ассоциации строит. вузов, 2005. – 488 с.
4. Ильюшин, А.А. Труды. Т. 3. Теория термовязкоупругости / Составители: Е.А. Ильюшина, В.Г. Тунгускова. – М.: ФИЗМАТЛИТ, 2007. – 288 с.
5. Малмейстер, А.К. Соппротивление жестких полимерных материалов / А.К. Малмейстер, В.П. Тамуж, Г.А. Тетерс. – Рига: Зинатне, 1972. – 500 с.
6. Абросимов, Н.А. Нелинейные задачи динамики композитных конструкций / Н.А. Абросимов, В.Г. Баженов. – Н. Новгород: Изд-во ННГУ, 2002. – 400 с.
7. Немировский, Ю.В. Кинематический метод определения эффективных термоупругих характеристик грунта, армированного пространственной георешеткой / Ю.В. Немировский, А.П. Янковский // Изв. вузов. Строительство. – 2007. – № 6. – С. 18–26.

Summary

The numerically-analytical model of linear thermo-moisture-viscoelastic behaviour the subsidence and moisture soils reinforced by the space geolattice with structure of a general view is developed, allowing during the discrete moments of a time to reduce an observed problem to thermo-moisture-elastic within the limits of which procedure of construction of the governing equations is already known.

Поступила в редакцию 19.11.2012